

УДК 547.539.1+548.737

**РЕНТГЕНОСТРУКТУРНОЕ ИССЛЕДОВАНИЕ МОНОКРИСТАЛЛОВ КОМПЛЕКСОВ
3-(1-АМИНО-2,2,2-ТРИФТОРЭТИЛИДЕН)-2-ИМИНО-1,1,4,5,6,7-ГЕКСАФТОРИНДАНА
С ДИОКСАНОМ, ПИРАЗИНОМ И ПИРИДИНОМ**

© 2007 **Т.В. Рыбалова, В.М. Карпов*, В.Е. Платонов, Ю.В. Гатилов***

Новосибирский институт органической химии им. Н.Н. Ворожцова СО РАН

Статья поступила 30 мая 2006 г.

Получены монокристаллы комплексов 3-(1-амино-2,2,2-трифторэтилиден)-2-имино-1,1,4,5,6,7-гексафториндана (**1**) с 1,4-диоксаном, пиразином и пиридином и изучено их строение методом РСА. В кристалле комплекса с диоксаном соединение **1** содержитя вместе со своим тautомером — 2-амино-3-(1-имино-2,2,2-трифторэтил)-1,1,4,5,6,7-гексафторинденом (**1a**), которые находятся, видимо, в равновесном соотношении ~60:40. Методом функционала плотности проведены газофазные квантовохимические расчеты возможного тautомерного равновесия енаминоимина **1** в соответствующих комплексах.

Ключевые слова: полифторированные енаминоимины, индан, инден, синтез, структура, рентгеноструктурный анализ, тautомеры, квантовохимические расчеты.

ВВЕДЕНИЕ

Недавно методом РСА нами изучена молекулярная и кристаллическая структура 3-(1-амино-2,2,2-трифторэтилиден)-2-имино-1,1,4,5,6,7-гексафториндана **1** и его N-метил- и N,N'-диметилпроизводных **2—4** [1]. Их строение отражают формулы **1—4**, приведенные на схеме 1. Следует отметить, что в соединениях **1** и **2** как в кристалле, так и в растворе имеется внутримолекулярная водородная связь (ВМВС) N—H...N, а в соединениях **3** и **4** — отсутствует. При этом в растворе соединение **1** находится в равновесии со своим тautомером — 2-амино-3-(1-амино-2,2,2-трифторэтил)-1,1,4,5,6,7-гексафторинденом (**1a**) [2].

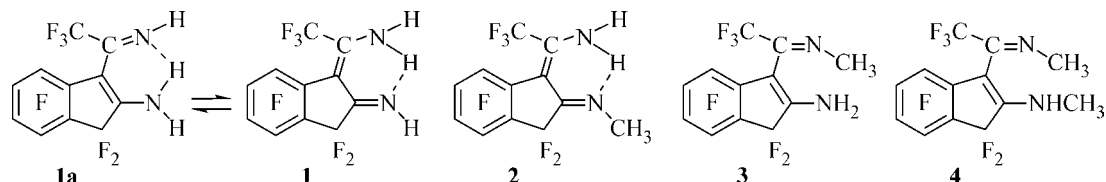


Схема 1

В связи с этим представляло интерес попытаться получить сокристаллы соединения **1** с какими-нибудь "растворителями" и изучить их методом РСА с целью обнаружения в кристаллическом состоянии тautомера (**1a**). Следует отметить, что в Кембриджской базе структурных данных (КБСД) содержится информация о большом количестве кристаллических структур комплексов металлов с енаминоиминами, в то время как данных о структуре свободных енаминоиминов существенно меньше [3]. При этом известны единичные случаи исследований такого рода соединений, содержащих обе незамещенные группы —NH₂ и =NH [4], а также соеди-

нений с трифторметильными группами, находящимися у атомов углерода енаминоиминной системы [5].

РЕЗУЛЬТАТЫ И ИХ ОБСУЖДЕНИЕ

Нам удалось получить кристаллические комплексы **5**, **6** и **7** соединения **1** с 1,4-диоксаном, пиразином и пиридином в соотношении 2:1 (**5**, **6**) и 1:1 (**7**) соответственно (схема 2) и провести для них рентгеноструктурный анализ.

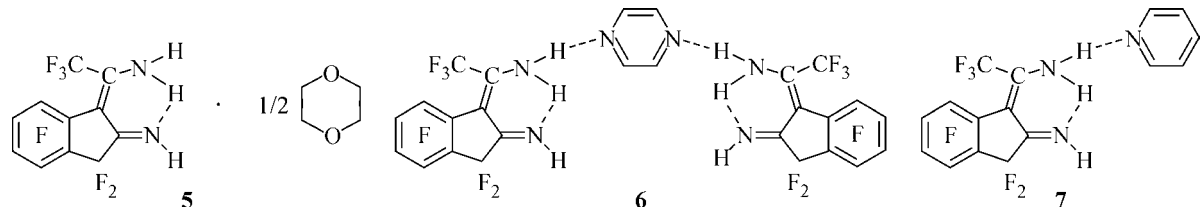


Схема 2

По данным РСА, молекулярные комплексы **5**—**7** образованы благодаря водородным связям между молекулами соединения **1** и соответствующего растворителя. Так, в случае комплекса **5** в образовании водородных связей типа N—H...O с молекулами 1,4-диоксана принимают участие как имино- (N1), так и амино- группы (N2) (рис. 1). Параметры связей N—H и водородных связей для N2—H2B...O1D следующие: N—H 0,91(4), H...O 2,16(4) Å, N2—H...O 158(3)° и для N1—H1A...O1D: N—H 0,84(3), H...O 2,21(4) Å, N1—H...O 164(3)°. За счет взаимодействия молекулы соединения **1** с двумя молекулами диоксана, расположенными в центрах симметрии, и за счет взаимодействия молекулы диоксана с четырьмя молекулами соединения **1** образуются ленты, направленные вдоль оси *c* (см. рис. 1). π -Стекинг-взаимодействия между бензольными кольцами (межплоскостное расстояние 3,56, межцентровое 3,880 Å) связывают между собой ленты, образуя 2D-мотив. При этом в π -стекинг-паре слегка сокращены контакты F1...F7 2,836 Å (сумма ВДВ-радиусов 2,92 Å [6]). Отметим также несколько сокращенные контакты H...F атомов водорода при C2D диоксана с атомами F6 (H...F 2,55 Å) и F1 (H...F 2,52 Å) (сумма ВДВ-радиусов 2,56 Å [6]).

В случае молекулярного комплекса **6** иминогруппа N1 в образовании H-связей не участвует. Для кристалла **6** можно говорить об образовании супермолекул, состоящих из двух молекул соединения **1** и молекулы пиразина (расположена в центре симметрии) и связанных H-связями N2—H2B...N1P с параметрами: N—H 0,88(3), H...N 2,15(4) Å, N1—H...N2 159(4)° (рис. 2).

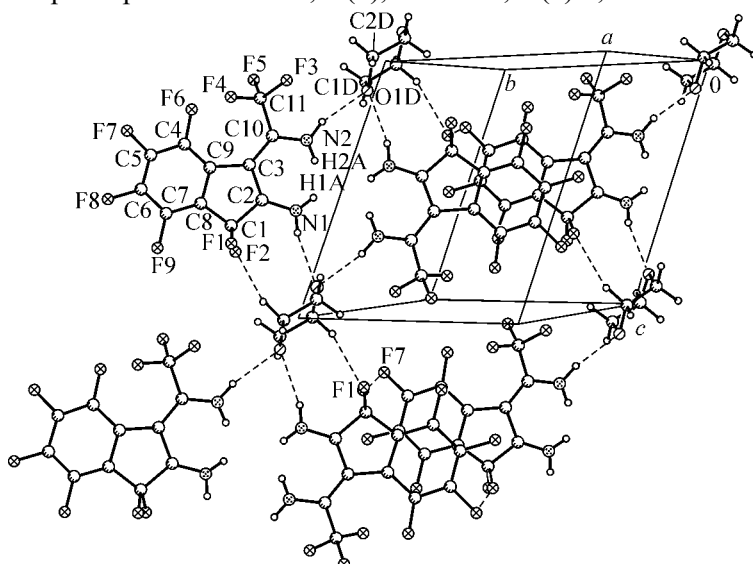
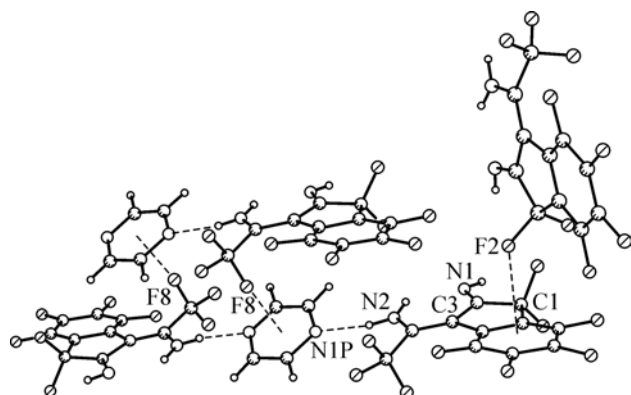


Рис. 1. Строение комплекса **5** (ленты молекул вдоль оси *c*, π -стекинг-взаимодействия между бензольными кольцами)



слоевые взаимодействия C1—F2... π (бензольное кольцо) с расстояниями F — центроид 3,177 Å (см. рис. 2).

При использовании пиридина в качестве растворителя естественно ожидать образования супермолекул, а не цепочек. Как видно на рис. 4, комплекс 7 представлен центросимметричными супермолекулами, состоящими из двух молекул соединения 1 и двух молекул пиридина, объединенных посредством водородных связей N—H...N. Необходимо отметить, что водородная связь N1—H...N1P с участием иминогруппы существенно слабее H-связи N2—H2B...N1P с участием аминогруппы. Параметры связей N—H и водородных связей для N1—H1A...N1P следующие: N—H 0,82(3), H...N 2,48(3) Å, N—H...N 165(2) $^\circ$, а для N2—H2B...N1P N—H 0,93(3), H...N 2,14(3) Å, N1—H...N2 162(2) $^\circ$. π -Стекинг-взаимодействия между бензольными кольцами (межплоскостное расстояние 3,54, межцентровое 3,906 Å) объединяют супермолекулы. Отметим также сокращенные контакты F1...F4 2,850 Å между атомами фтора соседних супермолекул.

Углеродный скелет C1—C9 молекулы соединения 1 в комплексах 5—7 плоский в пределах $\pm 0,102(3)$, $\pm 0,062(4)$ и $\pm 0,114(3)$ Å соответственно. Указанная непланарность связана с конвертообразным искажением пятичленного цикла с углами перегиба цикла по линии C1—C3 8,5(3), 4,4(3) и 9,6(2) $^\circ$ соответственно. Из анализа длин связей енаминоиминного фрагмента следует, что в комплексе 5 формально двойные связи N1=C2 и C3=C10 удлинены по сравнению с аналогичными связями в комплексах 6 и 7, а формально ординарные связи C2—C3 и C10—N2, напротив, укорочены (табл. 1). Такое распределение длин связей в комплексе 5 ближе всего к расчетной геометрии этого фрагмента для переходного состояния равновесия 14 \rightleftharpoons 15 (см. табл. 1). Отметим, что BMSC N2—H...N1 в гетерокристаллах 5—7 ослаблена по сравнению с гомокристаллом 1 (расстояния N1...H и N1...N2 увеличены, см. табл. 1). Это ослабление

Рис. 2. Строение супермолекул в кристалле 6.
Показаны взаимодействия
C10—F8... π (пиразин) и C1—F2... π (бензольное
кольцо)

Взаимодействия C10—F8... π (пиразин) с расстоянием F — центроид 3,348 Å объединяют супермолекулы в цепочки вдоль оси *a*. При этом между цепочками наблюдаются сокращенные [6] контакты F8...F8 с расстоянием 2,826 Å. Цепочки уложены в слои (рис. 3), для которых отметим меж-

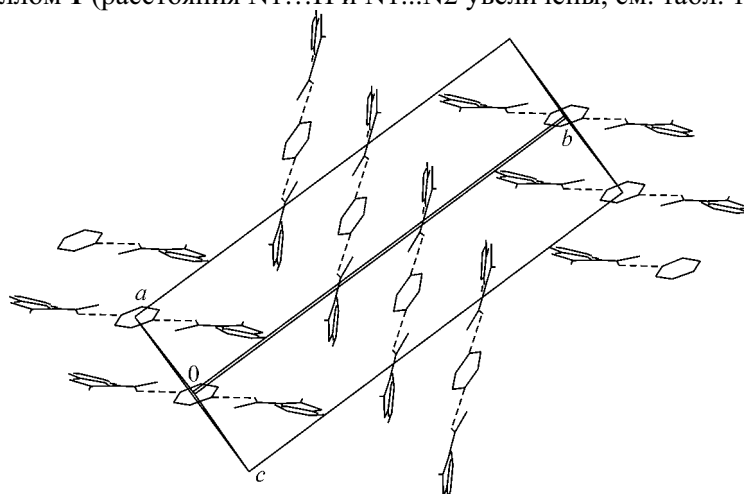


Рис. 3. Упаковка молекул комплекса 6 в кристалле (для упрощения рисунка атомы фтора и водорода не показаны)

Рис. 4. Строение супермолекул в кристалле 7
(π -стекинг-взаимодействия между
бензольными кольцами)

вызвано, видимо, межмолекулярными водородными связями в гетерокристаллах.

С целью выяснения влияния растворителя/окружения на таутомерное равновесие для енаминоимина 1 ($1 \rightleftharpoons 1a$) мы провели газофазные квантовохимические расчеты молекулярных комплексов 1:диоксан и 1:пиридин в соотношениях 1:1 и 1:2 для каждого растворителя (схема 3).

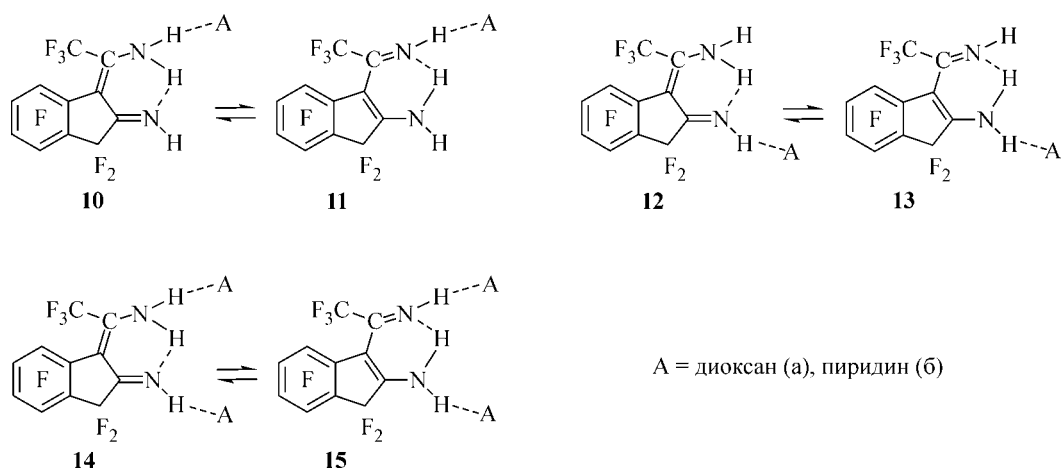
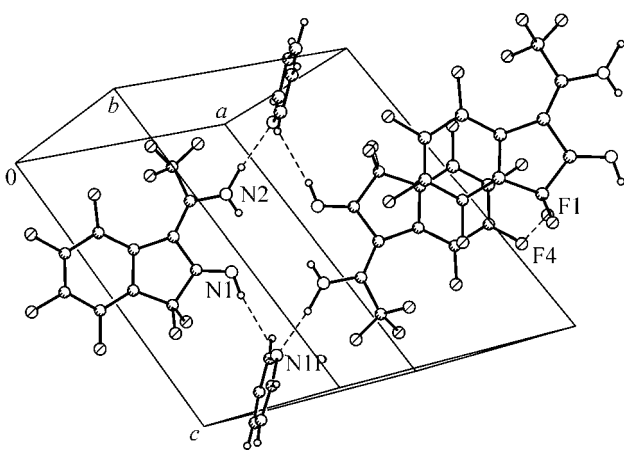


Схема 3

Таблица 1

Экспериментальные (для соединения 1 и комплексов 5—7) и рассчитанные (для переходного состояния $14A \rightleftharpoons 15A$) длины связей (\AA) фрагмента N1C2C3C10N2 и параметры BMBC

| Связь | 1 | 5 | 6 | 7 | $14A \rightleftharpoons 15A$ |
|----------|----------|----------|----------|----------|------------------------------|
| N1—C2 | 1,297(7) | 1,286(4) | 1,278(5) | 1,278(3) | 1,307 |
| C2—C3 | 1,442(6) | 1,431(3) | 1,459(5) | 1,445(3) | 1,427 |
| C3—C10 | 1,393(6) | 1,399(4) | 1,384(4) | 1,389(3) | 1,426 |
| N2—C10 | 1,327(7) | 1,305(4) | 1,331(5) | 1,318(3) | 1,320 |
| N2—H2A | 1,13(7) | 0,81(4) | 0,79(5) | 0,86(3) | 1,308 |
| N1...H2A | 1,65(7) | 2,03(4) | 2,04(3) | 2,04(3) | 1,247 |
| N1...N2 | 2,644(7) | 2,683(4) | 2,652(6) | 2,690(3) | 2,447 |

При оптимизации геометрии этих супермолекул в качестве стартовой брали их геометрию в кристалле. Проведенные расчеты (табл. 2) показали, что в случае комплексов с соотношением 1:1 предпочтительным является взаимодействие молекулы растворителя с аминогруппой, а не с иминогруппой. При этом равновесие заметно сдвигается в сторону таутомера, в котором с молекулой растворителя связана аминогруппа. В соответствии с этим повышаются (до 6,6 ккал/моль) барьеры перегруппировок $10 \rightarrow 11$ и снижаются (до 2,8 ккал/моль) барьеры $12 \rightarrow 13$ по сравнению с барьером (4,6 ккал/моль [1]) в свободной молекуле 1. Однако для ком-

Таблица 2

Рассчитанные относительные энергии ΔE и барьеры ΔE^\ddagger таутомерного переноса (\rightarrow) атома водорода, ккал/моль

| Соединение | Диоксан (а) | | Пиридин (б) | |
|------------|------------------|---------------------|------------------|---------------------|
| | ΔE | ΔE^\ddagger | ΔE | ΔE^\ddagger |
| 10 | 0,0 ^a | 6,1 | 0,0 ^b | 6,6 |
| 11 | 4,1 | | 4,9 | |
| 12 | 1,4 | 3,2 | 1,8 | 2,8 |
| 13 | 0,5 | | 0,1 | |
| 14 | 0,0 ^c | 4,6 | 0,0 ^d | 4,5 |
| 15 | 1,3 | | 1,2 | |
| 1 | 0,0 ^e | 4,6 ^e | | |
| 1a | 1,9 ^e | | | |

^{a,b,c,d} Полные энергии (Н): ^{a)} $E = -1735,571413$, ^{b)} $E = -1676,224142$, ^{c)} $E = -2042,987515$, ^{d)} $E = -1924,291281$.
^{e)} Для молекул без диоксана [1].

плексов **14**, **15** с соотношением 1:2 происходит взаимная компенсация влияния растворителя, связанного с двумя азотсодержащими функциональными группами соединения **1**, и термодинамика перегруппировок **14** \rightleftharpoons **15** близка к таковой для свободной молекулы **1**. Проведенные расчеты согласуются с наличием разупорядоченности атома водорода H1A-H2A в кристалле **5** (см. рис. 1) и отсутствием разупорядоченности в кристаллах **6** и **7**, в которых иминогруппа N1 практически не участвует в образовании водородных связей.

Таким образом, нами получены сокристаллы 3-(1-амино-2,2,2-трифторэтилиден)-2-имино-1,1-4,5,6,7-гексафтоториндана **1** с диоксаном, пиразином и пиридином, изучена их молекулярная и кристаллическая структура. Методом функционала плотности проведены квантовохимические расчеты возможного таутомерного равновесия в этих комплексах и получены низкие барьеры перехода атома водорода для комплекса соединения **1** с диоксаном.

ЭКСПЕРИМЕНТАЛЬНАЯ ЧАСТЬ

Квантовохимические расчеты методом функционала плотности PBE с базисом TZ2P проведены с помощью программы PRIRODA [7].

Получение монокристаллов. Комплекс 5. Смесь 0,1 г соединения **1** ($T_{\text{пл}} = 67\text{--}68^\circ\text{C}$ [1]) и 0,04 г 1,4-диоксана растворяли при нагревании в CCl_4 и затем охлаждали до комнатной температуры. Получали кристаллы комплекса **5** с $T_{\text{пл}} = 68\text{--}86^\circ\text{C}$.

Комплекс 6. Аналогично предыдущему эксперименту из 0,045 г соединения **1** и 0,015 г пиразина получали кристаллы комплекса **6** с $T_{\text{пл}} = 77\text{--}85^\circ\text{C}$.

Комплекс 7. Монокристаллы комплекса **7** ($T_{\text{пл}} = 42\text{--}48^\circ\text{C}$) получали при медленном испарении CCl_4 из раствора 0,05 г соединения **1** и 0,03 г пиридина.

Рентгеноструктурный анализ. Рентгеноструктурное исследование комплексов провели на дифрактометре Bruker P4 (MoK α -излучение, графитовый монохроматор, $\theta/2\theta$ -сканирование) при комнатной температуре. Для предотвращения разрушения кристаллы покрывали тонким слоем клея ПВА. Структуры комплексов **5**–**7** расшифровали прямым методом по программе SHELXS-97 и уточнили методом наименьших квадратов в анизотропно-изотропном приближении по программе SHELXL-97. Положения атомов водорода в комплексах **5**–**7** взяли из разностного синтеза. Кристаллографические данные соединений **5**–**7** и параметры рентгенодифракционных экспериментов приведены в табл. 3, координаты неводородных атомов — в табл. 4–6.

После уточнения структуры комплекса **5** в имино(N1)-аминном(N2) варианте рассмотрение пиков разностного синтеза показало, что первый по величине пик расположен у атома N1 (см. рис. 1). Это навело на мысль о возможной разупорядоченности атома водорода вследствие таутомерного переноса. Уточнение структуры в этом варианте привело к соотношению факторов занятости позиции 0,38(5):0,62(5) для атомов H1a и H2a. В случае соединений **6** и **7** у атома N1 находился более слабый пик разностного синтеза, уточнение фактора занятости которого дало в пределах погрешности нулевое значение. В качестве литературного примера разупорядоченности атома водорода вследствие кето-енольной таутомерии можно привести прецизионные исследования ацетилацетона [8].

Работа выполнена при финансовой поддержке Российского фонда фундаментальных исследований (проект 06-03-32229).

Таблица 3

Кристаллографические данные соединений и параметры экспериментов

| Параметр | 5 | 6 | 7 |
|--------------------------------------|------------------------------------|------------------------------------|--------------------------------|
| Химическая формула | $C_{11}H_3F_9N_2 + 1/2(C_4H_8O_2)$ | $C_{11}H_3F_9N_2 + 1/2(C_4H_4N_2)$ | $C_{11}H_3F_9N_2 + 1(C_5H_5N)$ |
| Мол. вес | 378,21 | 374,20 | 413,25 |
| Сингония | Триклиновая | Моноклинная | Триклиновая |
| Пространственная группа | $P-1$ | $P2_1/c$ | $P-1$ |
| Область θ , град. | 2,12—22,49 | 2,60—25,00 | 2,44—25,09 |
| Параметры ячейки | | | |
| a , Å | 8,7162(6) | 6,465(1) | 8,380(2) |
| b , Å | 8,7898(8) | 25,972(3) | 9,030(3) |
| c , Å | 10,4109(8) | 8,249(1) | 12,344(3) |
| α , град. | 77,461(7) | | 69,10(2) |
| β , град. | 69,353(5) | 95,57(2) | 73,42(2) |
| γ , град. | 78,722(6) | | 77,58(2) |
| V , Å ³ | 722,4(1) | 1378,6(3) | 829,6(4) |
| Z | 2 | 4 | 2 |
| ρ (расч.), г/см ³ | 1,739 | 1,803 | 1,654 |
| μ , мм ⁻¹ | 0,191 | 0,196 | 0,171 |
| Размер кристалла, мм | 0,6×0,4×0,2 | 1,0×0,4×0,4 | 0,9×0,5×0,3 |
| Число отражений измерен./независ. | 2033/1882 | 2614/2413 | 3089/2876 |
| Учет поглощения | Эмпирически | Эмпирически | Эмпирически |
| Трансмиссия | 0,9693—0,9450 | 0,9858—0,8120 | 0,9924—0,6062 |
| Число отражений [$I > 2\sigma(I)$] | 1348 | 1543 | 2261 |
| Число уточняемых параметров | 260 | 247 | 266 |
| R_1 для [$F > 4\sigma(F)$] | 0,0326 | 0,0597 | 0,0425 |
| wR_2 для всех отражений | 0,0882 | 0,1880 | 0,1205 |
| GOOF | 1,032 | 1,037 | 1,025 |

Таблица 4

Атомные координаты ($\times 10^4$) и тепловые параметры ($\text{\AA}^2 \times 10^3$) неводородных атомов комплекса 5

| Атом | x | y | z | $U_{\text{экв}}$ | Атом | x | y | z | $U_{\text{экв}}$ |
|-------|---------|---------|---------|------------------|-------|---------|---------|---------|------------------|
| C(1) | 1752(3) | 3530(3) | 6390(3) | 61(1) | F(1) | 2762(2) | 2507(2) | 7027(2) | 80(1) |
| C(2) | 1347(3) | 2733(3) | 5423(2) | 56(1) | F(2) | 369(2) | 3920(2) | 7460(2) | 82(1) |
| C(3) | 2067(3) | 3480(3) | 4024(2) | 55(1) | F(3) | 3654(3) | 1915(3) | 799(2) | 117(1) |
| C(4) | 3234(3) | 6186(3) | 3158(3) | 64(1) | F(4) | 4683(2) | 3547(2) | 1407(2) | 92(1) |
| C(5) | 3632(3) | 7407(4) | 3565(4) | 74(1) | F(5) | 2593(2) | 4324(3) | 685(2) | 101(1) |
| C(6) | 3496(4) | 7386(4) | 4918(4) | 80(1) | F(6) | 3330(2) | 6374(2) | 1813(2) | 86(1) |
| C(7) | 2934(4) | 6111(4) | 5883(3) | 74(1) | F(7) | 4125(2) | 8663(2) | 2604(2) | 102(1) |
| C(8) | 2527(3) | 4905(3) | 5490(3) | 60(1) | F(8) | 3896(3) | 8587(2) | 5282(2) | 118(1) |
| C(9) | 2689(3) | 4885(3) | 4103(3) | 56(1) | F(9) | 2769(2) | 6078(2) | 7226(2) | 101(1) |
| C(17) | 2113(3) | 2785(3) | 2921(3) | 62(1) | O(1D) | 472(3) | 61(3) | 1148(2) | 85(1) |
| C(18) | 3263(4) | 3165(4) | 1444(3) | 77(1) | C(1D) | -820(7) | 1143(5) | 783(4) | 108(2) |
| N(1) | 505(3) | 1566(4) | 5851(3) | 74(1) | C(2D) | 1641(5) | -439(6) | -78(4) | 102(1) |
| N(2) | 1231(4) | 1666(4) | 3109(3) | 80(1) | | | | | |

Т а б л и ц а 5

Атомные координаты ($\times 10^4$) и тепловые параметры ($\text{\AA}^2 \times 10^3$) неводородных атомов комплекса 6

| Атом | <i>x</i> | <i>y</i> | <i>z</i> | <i>U_{экв}</i> | Атом | <i>x</i> | <i>y</i> | <i>z</i> | <i>U_{экв}</i> |
|-------|----------|----------|----------|------------------------|-------|-----------|----------|----------|------------------------|
| N(1) | -7865(6) | 6788(2) | 42(5) | 74(1) | F(1) | -3303(4) | 6923(1) | 97(3) | 86(1) |
| C(1) | -4397(6) | 7007(1) | 1408(5) | 55(1) | F(2) | -4701(4) | 7527(1) | 1450(4) | 86(1) |
| N(2) | -9644(5) | 5989(2) | 1348(4) | 60(1) | F(3) | -4960(5) | 5957(1) | 6036(3) | 100(1) |
| C(3) | -6467(5) | 6350(1) | 2527(4) | 44(1) | F(4) | -1238(5) | 6220(1) | 7363(3) | 96(1) |
| C(4) | -3815(7) | 6261(2) | 5164(5) | 61(1) | F(5) | 1186(4) | 6896(1) | 5912(3) | 81(1) |
| C(5) | -1908(7) | 6419(2) | 5891(4) | 62(1) | F(6) | -283(4) | 7320(1) | 3008(3) | 78(1) |
| C(6) | -679(6) | 6762(2) | 5177(5) | 58(1) | F(7) | -9085(5) | 5130(1) | 2820(4) | 112(1) |
| C(7) | -1430(6) | 6970(1) | 3700(5) | 54(1) | F(8) | -6038(5) | 5312(1) | 3775(3) | 82(1) |
| C(8) | -3292(5) | 6809(1) | 2961(4) | 46(1) | F(9) | -8583(5) | 5604(1) | 4965(3) | 96(1) |
| C(9) | -4551(5) | 6440(1) | 3624(4) | 46(1) | N(1P) | -13185(6) | 5264(1) | 548(4) | 67(1) |
| C(10) | -8005(5) | 5977(1) | 2456(4) | 46(1) | C(2P) | -13498(8) | 4777(2) | 965(5) | 68(1) |
| C(11) | -7923(7) | 5508(2) | 3538(5) | 62(1) | C(3P) | -15304(7) | 4518(2) | 415(5) | 65(1) |

Т а б л и ц а 6

Атомные координаты ($\times 10^4$) и тепловые параметры ($\text{\AA}^2 \times 10^3$) неводородных атомов комплекса 7

| Атом | <i>x</i> | <i>y</i> | <i>z</i> | <i>U_{экв}</i> | Атом | <i>x</i> | <i>y</i> | <i>z</i> | <i>U_{экв}</i> |
|-------|-----------|----------|----------|------------------------|-------|----------|----------|----------|------------------------|
| N(1) | 3046(7) | 3994(7) | 5643(6) | 77(2) | F(2) | -68(5) | 2749(4) | 7065(3) | 86(1) |
| C(1) | 874(8) | 2253(8) | 6116(6) | 66(2) | F(3) | -11(5) | 4000(5) | 2223(4) | 97(1) |
| N(2) | 4223(9) | 5295(8) | 3286(6) | 84(2) | F(4) | -2686(5) | 2531(5) | 2919(4) | 111(2) |
| C(2) | 2089(8) | 3410(7) | 5303(6) | 61(2) | F(5) | -3807(5) | 799(6) | 5225(4) | 119(2) |
| C(3) | 1979(8) | 3709(7) | 4084(5) | 59(2) | F(6) | -2095(5) | 547(5) | 6864(4) | 104(2) |
| C(4) | -413(9) | 3110(8) | 3372(7) | 71(2) | F(7) | 5059(6) | 4709(6) | 1308(4) | 118(2) |
| C(5) | -1847(10) | 2375(9) | 3732(8) | 81(2) | F(8) | 2510(6) | 5681(5) | 1260(3) | 101(1) |
| C(6) | -2422(9) | 1520(9) | 4878(9) | 83(2) | F(9) | 3188(5) | 3149(5) | 1844(3) | 98(1) |
| C(7) | -1530(9) | 1397(8) | 5705(7) | 76(2) | N(1P) | 3302(9) | 2491(10) | 8460(6) | 102(2) |
| C(8) | -127(8) | 2112(7) | 5376(6) | 63(2) | C(2P) | 3832(11) | 988(15) | 8480(7) | 107(3) |
| C(9) | 527(8) | 2981(7) | 4172(6) | 62(2) | C(3P) | 3238(13) | -312(12) | 9395(10) | 118(3) |
| C(10) | 3157(9) | 4501(8) | 3163(6) | 66(2) | C(4P) | 2035(14) | -19(14) | 10295(8) | 117(3) |
| C(11) | 3475(10) | 4512(10) | 1887(7) | 81(2) | C(5P) | 1451(11) | 1481(14) | 10296(8) | 109(3) |
| F(1) | 1734(5) | 810(4) | 6660(3) | 83(1) | C(6P) | 2129(12) | 2684(10) | 9353(8) | 104(3) |

СПИСОК ЛИТЕРАТУРЫ

1. Карпов В.М., Платонов В.Е., Рыболова Т.В., Гатилов Ю.В. // Журн. структур. химии – 2006. – **47**, № 3. – С. 532 – 539.
2. Чуйков И.П., Карпов В.М., Платонов В.Е. // Изв. АН СССР. Сер. хим. – 1990. – № 8. – С. 1856 – 1865.
3. Cambridge Structural Database. Version 5.26. University of Cambridge, UK.
4. Zhou M., Liu D.-S., Huang S.-P., Tong H.-B. // Acta Crystallogr., Sect. E: Struct. Rep. Online. – 2003. – **59**, N 3. – P. o310 – o311.
5. Carey D.T., Cope-Eatough E.K., Vilapana-Mafe E. et al. // Dalton Trans. – 2003. – P. 1083 – 1093.
6. Rowland R.S., Taylor R. // J. Phys. Chem. – 1996. – **100**. – P. 7384 – 7391.
7. Laikov D.N. // Chem. Phys. Lett. – 1997. – **281**. – P. 151 – 156.
8. Boese R., Antipin M.Yu., Blaeser D., Lyssenko K.A. // J. Phys. Chem. – 1998. – **B102**. – P. 8654 – 8660.